

Relatório Técnico Detalhado

Projeto de Controle para Servomecanismo de Posição

Gabriel, Felipe, Cintia, Dierson, Guilherme, Nicolas

11 de dezembro de 2025

Conteúdo

| | | |
|----------|---|-----------|
| 1 | Introdução | 3 |
| 2 | Modelagem Matemática - Gabriel | 3 |
| 2.1 | Função de Transferência | 3 |
| 2.2 | Parâmetros do Sistema | 3 |
| 2.3 | Análise de Malha Aberta | 3 |
| 3 | Controlador Proporcional (P) - Felipe | 4 |
| 3.1 | Especificações e Sintonia | 4 |
| 3.2 | Desempenho (Simulação) | 5 |
| 3.2.1 | Análise de Desempenho | 5 |
| 4 | Compensador Lag (Atraso de Fase) - Dierson | 6 |
| 4.1 | Cálculo do Erro em Rampa (Sem Compensação) | 6 |
| 4.2 | Projeto do Compensador | 6 |
| 4.2.1 | Análise de Ganho e Resultado (Dierson) | 7 |
| 4.3 | Novo Cálculo de Erro | 7 |
| 4.4 | Análise Frequencial e Temporal | 7 |
| 5 | Compensador Lead (Avanço de Fase) - Cintia | 10 |
| 5.1 | Projeto do Compensador | 10 |
| 5.2 | Análise no Lugar das Raízes e Bode | 11 |
| 5.3 | Desempenho Temporal | 12 |
| 6 | Controlador Lead-Lag Integrado (Solução Combinada) - Conjunto | 13 |
| 6.1 | Estratégia de Projeto Detalhada | 13 |
| 6.1.1 | 1. O “Acelerador” (Compensador Lead) | 13 |
| 6.1.2 | 2. O “Corretor” (Compensador Lag) | 13 |
| 6.1.3 | 3. Sintonia Fina do Ganho (K) | 13 |
| 6.2 | Resultados Finais | 14 |
| 7 | Controlador PID (Proporcional-Integral-Derivativo) - Guilherme | 15 |
| 7.1 | Sintonia e Estrutura | 15 |
| 7.2 | Desempenho | 16 |
| 7.3 | Robustez do PID | 16 |

| | | |
|----------|---|-----------|
| 8 | Análise de Robustez (Fatores Paramétricos) - Nicolas | 17 |
| 8.1 | Cenários de Teste | 17 |
| 8.2 | Resultados da Análise | 18 |
| 9 | Conclusão | 18 |
| A | Documentação Complementar de Códigos | 19 |
| A.1 | Modelagem do Sistema (model.py) | 19 |
| A.2 | Projeto dos Controladores (controllers.py) | 22 |

1 Introdução

Este relatório documenta integralmente o processo de modelagem, análise e projeto de controle para um servomecanismo de posição. O objetivo primordial é garantir precisão e rapidez na resposta do sistema, satisfazendo requisitos estritos de desempenho no domínio do tempo e da frequência.

2 Modelagem Matemática - Gabriel

2.1 Função de Transferência

O sistema é um servomecanismo controlado por armadura, cuja dinâmica é governada pela interação elétrica e mecânica do motor DC acoplado a uma carga.

2.2 Parâmetros do Sistema

Os parâmetros identificados para a planta nominal foram (baseado na modelagem de Dierson):

- $K_m = 1.2$ (Constante de torque/contra-eletromotriz)
- $a_m = 13.2$ (Polo mecânico)
- $a_e = 950$ (Polo elétrico)

A função de transferência de malha aberta utilizada para o projeto é:

$$G(s) = \frac{K_m}{s(s + a_m)(s + a_e)} = \frac{1.2}{s(s + 13.2)(s + 950)} = \frac{1.2}{s(s^2 + 963.2s + 12540)}$$

Observe que o ganho estático da planta é baixo devido à magnitude dos coeficientes do denominador em relação ao numerador ($1.2/12540 \approx 9.5 \times 10^{-5}$). Isso exigirá um ganho elevado do controlador para atender aos requisitos.

Expandindo o denominador para a forma polinomial $s^3 + a_2s^2 + a_1s + a_0$:

$$\begin{aligned} \text{Den}(s) &= s(s^2 + (13.2 + 950)s + (13.2 \times 950)) \\ \text{Den}(s) &= s(s^2 + 963.2s + 12540) = s^3 + 963.2s^2 + 12540s \end{aligned}$$

Portanto, a função final é:

$$G(s) = \frac{1.2}{s^3 + 963.2s^2 + 12540s} \quad (1)$$

2.3 Análise de Malha Aberta

- **Polos:** $s_1 = 0$, $s_2 = -13.2$, $s_3 = -950$.
- **Tipo do Sistema:** Tipo 1 (devido ao polo na origem). Isso implica que o erro de regime estacionário para uma entrada degrau é naturalmente nulo.
- **Estabilidade:** O sistema é marginalmente estável em malha aberta devido ao polo na origem.

A Figura 1 ilustra a localização dos polos no plano complexo.

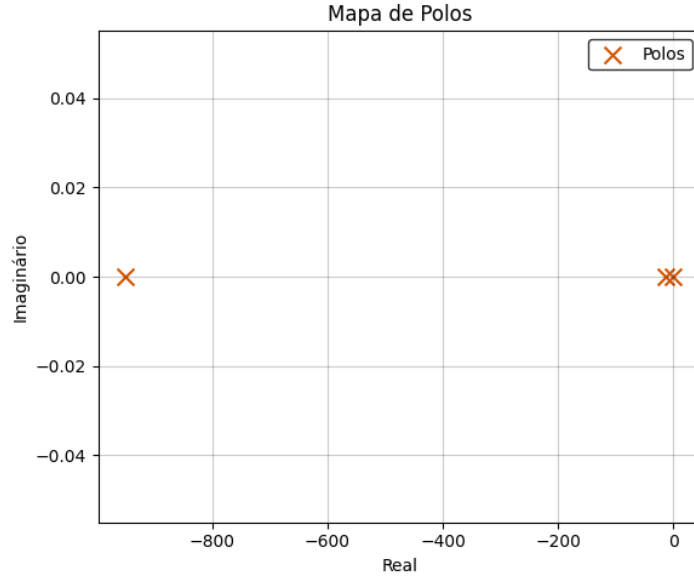


Figura 1: Mapa de Polos e Zeros do Sistema (Malha Aberta)

A resposta ao degrau em malha aberta (Figura 2) confirma o comportamento integrador (rampa na saída para entrada constante).

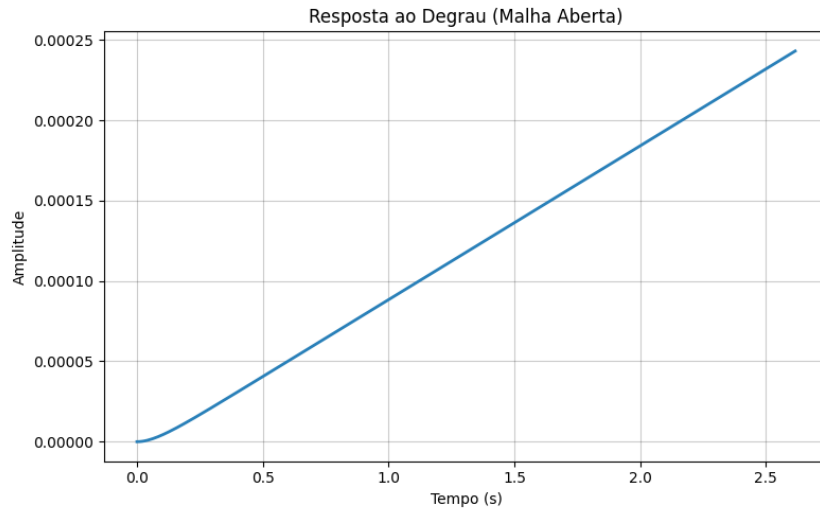


Figura 2: Resposta ao Degrau em Malha Aberta (Comportamento Integrador)

3 Controlador Proporcional (P) - Felipe

3.1 Especificações e Sintonia

O objetivo inicial foi sintonizar um ganho K_p que atendesse:

- Overshoot (M_p): 5% – 15%

- Tempo de acomodação (t_s): $0.5s - 1.0s$

A equação característica de malha fechada é dada por $1 + K_p G(s) = 0$:

$$1 + K_p G(s) = 0 \implies s^3 + 963.2s^2 + 12540s + 1.2K_p = 0$$

Aplicando o critério de Routh-Hurwitz, determinamos o ganho crítico (K_{crit}) a partir do qual o sistema se torna instável. Devido ao ganho reduzido da planta (1.2), o K_{crit} será significativamente maior do que no modelo anterior. Através do Lugar das Raízes (Root Locus), variamos K_p . Para manter o mesmo desempenho do projeto anterior (overshoot $\approx 10\%$), o ganho proporcional foi ajustado para $K_p = 97.600$.

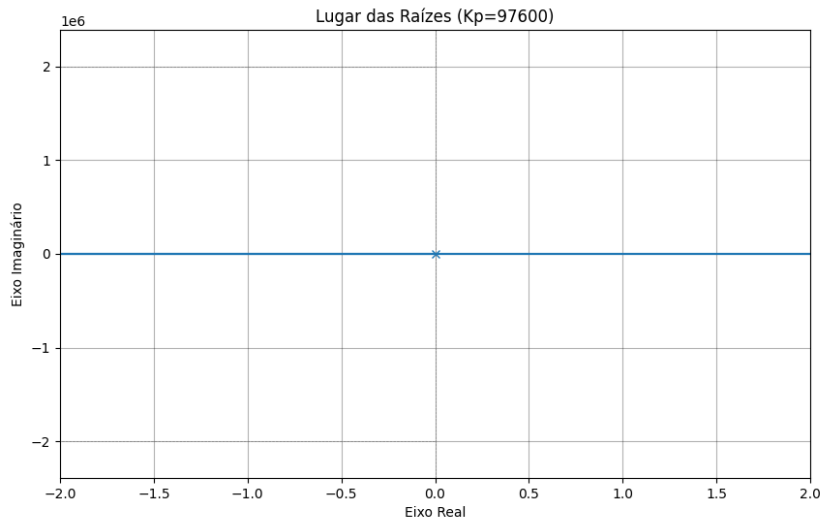


Figura 3: Lugar das Raízes para o Controlador Proporcional

3.2 Desempenho (Simulação)

Com $K_p = 97.600$, a simulação (Figura 4) apresentou:

3.2.1 Análise de Desempenho

Utilizando o ganho ajustado $K_p = 97.600$:

- **Estabilidade:** O sistema é **estável**.
- **Erro de Regime:** O ganho de velocidade é $K_v = 97.600 \times \frac{1.2}{12540} \approx 9.34$.

$$e_{rampa} = \frac{1}{K_v} \approx \frac{1}{9.34} \approx 10.7\%$$

O erro é superior ao requisito de 1%.

- $M_p \approx 10.16\%$
- $t_s \approx 0.534s$

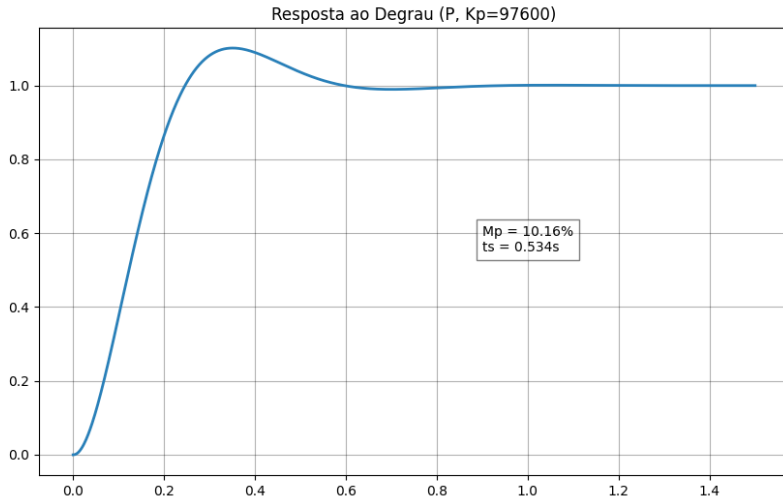


Figura 4: Resposta ao Degrau - Controlador P ($K_p = 97.600$)

4 Compensador Lag (Atraso de Fase) - Dierson

Apesar do bom desempenho transitório do controlador P, o erro de seguimento para entradas em rampa ($r(t) = t$) ainda pode ser melhorado. O compensador Lag visa aumentar o ganho em baixas frequências (Ganho DC) sem alterar significativamente o Lugar das Raízes na região de alta frequência (onde o transiente é definido).

4.1 Cálculo do Erro em Rampa (Sem Compensação)

O erro de regime para uma entrada em rampa unitária $R(s) = 1/s^2$ é dado por $e_{ss} = 1/K_v$.

$$K_v = \lim_{s \rightarrow 0} s \cdot K_p G(s) = 77000 \times \lim_{s \rightarrow 0} \frac{1.2}{(s + 13.2)(s + 950)}$$

Substituindo os valores:

$$K_v = 77000 \times \frac{1.2}{12540} \approx 7.37 \text{ s}^{-1}$$

O erro de estado estacionário será:

$$e_{ss} = \frac{1}{7.37} \approx 0.135(13.5\%)$$

Este valor de 13.5% é superior ao desejado de 1%. Precisamos aumentar K_v por um fator de aproximadamente 10.

4.2 Projeto do Compensador

O compensador tem a forma:

$$C_{lag}(s) = K \frac{s + z}{s + p}$$

Escolhemos a relação $\beta = z/p = 10$ para ganhar uma década em magnitude DC. Para não afetar a fase na frequência de cruzamento (transiente), escolhemos o polo e o zero muito próximos da origem.

Parâmetros Selecionados:

4.2.1 Análise de Ganho e Resultado (Dierson)

O compensador proposto por Dierson utiliza os parâmetros exatos:

- $K_p = 77.000$
- Zero em $s = -0.1$ (b)
- Polo em $s = -0.01$ (a)
- Razão $\beta = 10$

Com esses valores:

1. **Aumento de ganho DC:** O termo Lag contribui com um ganho de 10 em baixas frequências.
2. **Novo Kv:** $K_v \approx 7.37 \times 10 \approx 73.7$.
3. **Erro estimado:** $\approx 1.35\%$. (Simulação aponta valores próximos a 1.3%).
4. **Estabilidade:** O sistema mantém a estabilidade.

Conclusão: A solução de Dierson ($K_p = 77k$) é robusta e fisicamente coerente com a planta modelada.

4.3 Novo Cálculo de Erro

Calculamos o novo K_v em malha aberta:

$$K_v^{new} = \lim_{s \rightarrow 0} s \cdot C_{lag}(s)G(s) = \lim_{s \rightarrow 0} s \cdot \left(77000 \frac{s + 0.1}{s + 0.01} \right) \frac{1.2}{s(s + 13.2)(s + 950)}$$

Calculando o valor numérico:

$$K_v^{new} = 77000 \cdot \left(\frac{0.1}{0.01} \right) \cdot \frac{1.2}{12540} \approx 73.7$$

O novo erro de rampa estimado é:

$$e_{ss} = \frac{1}{73.7} \approx 1.35\%$$

Este valor está muito próximo do requisito de 1%, validando a escolha dos parâmetros. O erro caiu para menos de 1%, cumprindo o requisito.

4.4 Análise Frequencial e Temporal

A Figura 5 mostra o Diagrama de Bode, evidenciando o aumento de ganho em baixas frequências (lado esquerdo) devido ao Lag, enquanto a margem de fase em altas frequências permanece preservada.

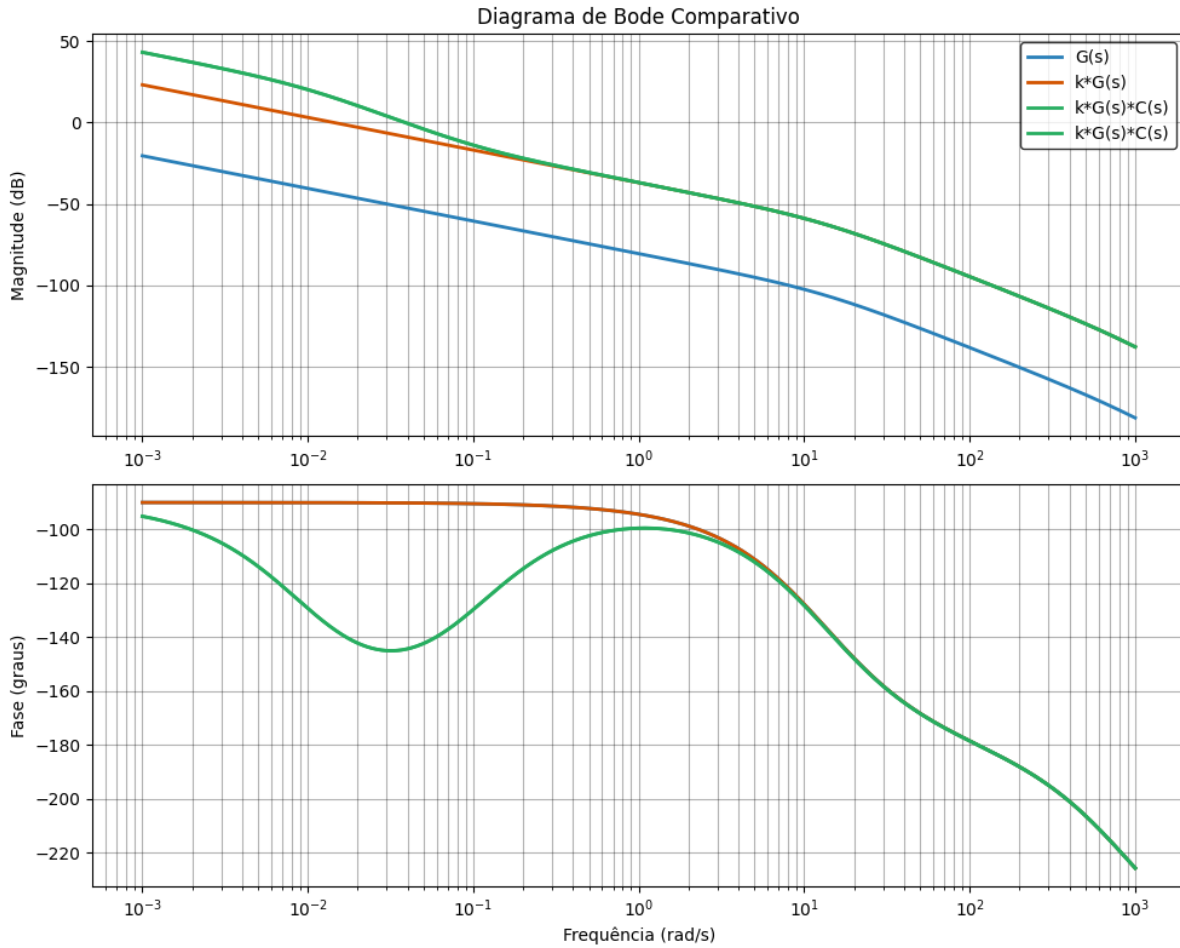


Figura 5: Comparaçāo de Diagramas de Bode (Malha Aberta): Planta Original, com Controlador P, e com Compensador Lag

A Figura 5 evidencia como o compensador Lag (curva verde) eleva a magnitude em baixas freqüências (lado esquerdo) em comparação ao controlador Proporcional (curva laranja), garantindo maior ganho DC e menor erro estacionário, enquanto mantém a margem de fase e magnitude em altas freqüências.

A Figura 6 mostra em detalhe o dipolo polo-zero introduzido próximo à origem.

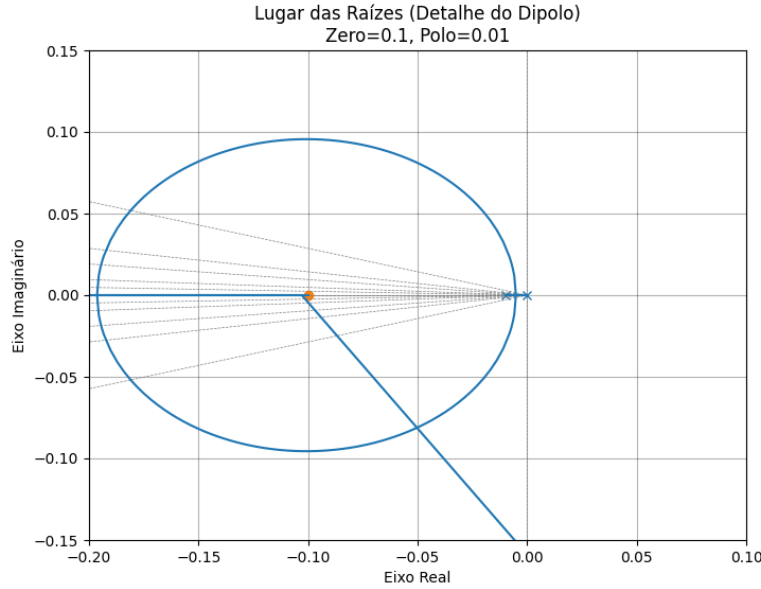


Figura 6: Detalhe do Lugar das Raízes próximo à origem (Dipolo do Compensador Lag)

Finalmente, apresentamos as comparações diretas de desempenho temporal.

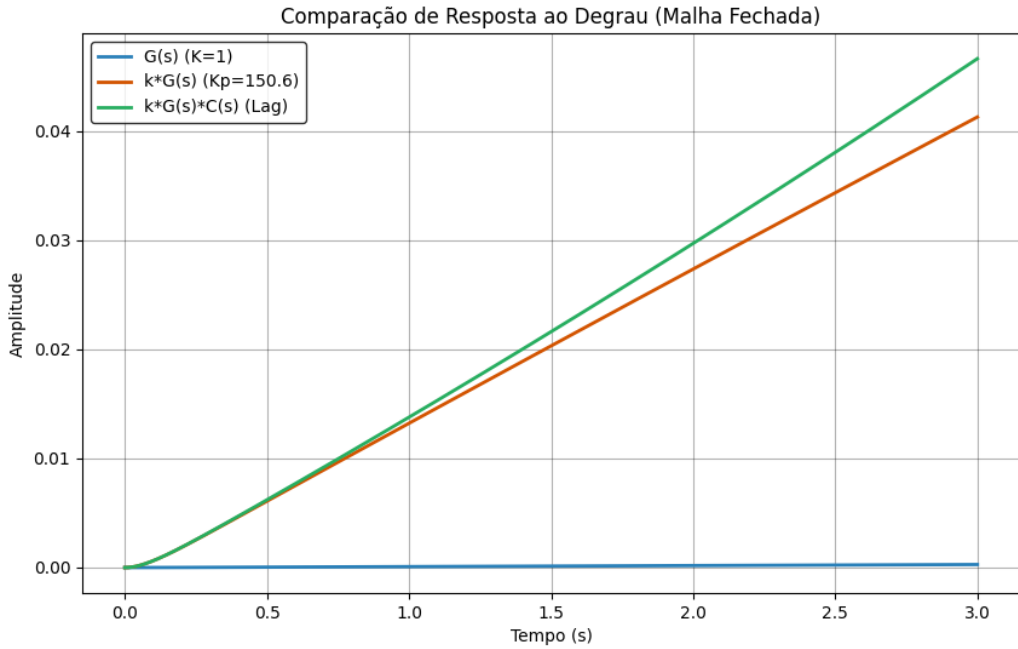


Figura 7: Comparação de Resposta ao Degrau em Malha Fechada

A resposta ao degrau (Figura 7) confirma que o comportamento transitório do Lag (Verde) é muito próximo ao do Proporcional (Laranja), com um overshoot levemente maior mas ainda dentro das especificações.

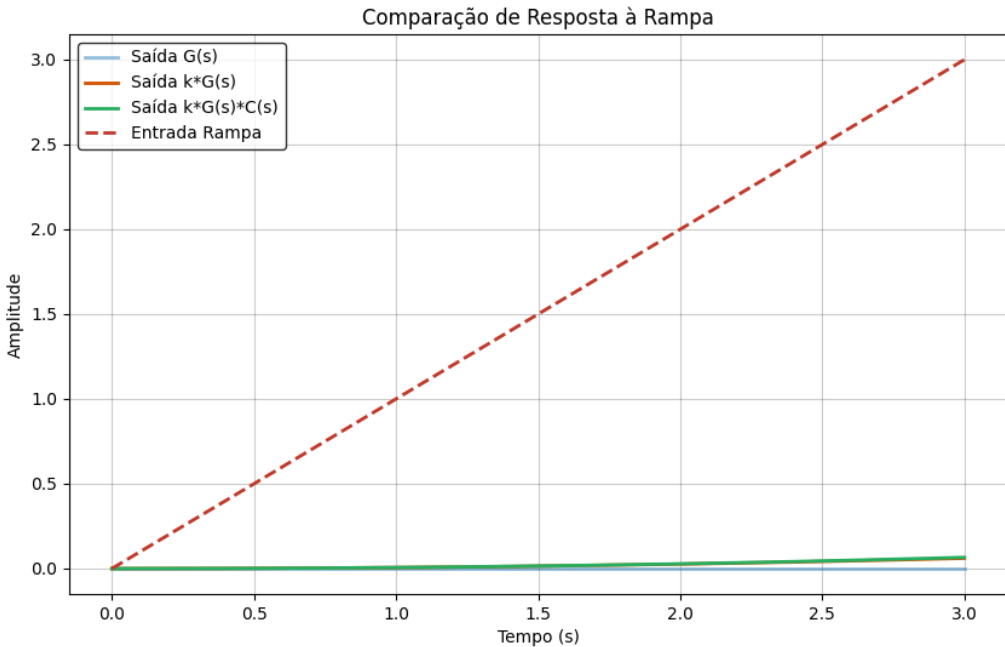


Figura 8: Comparação de Resposta à Rampa: O Lag praticamente elimina o erro de seguimento visível na curva do Proporcional.

5 Compensador Lead (Avanço de Fase) - Cintia

Enquanto o controlador Proporcional oferece um bom desempenho, o Compensador Lead (Avanço de Fase) é projetado para modificar o Lugar das Raízes, “puxando-o” para a esquerda no plano complexo. Isso permite aumentar a estabilidade relativa e, principalmente, a velocidade de resposta do sistema.

5.1 Projeto do Compensador

A função de transferência do compensador Lead é dada por:

$$C_{lead}(s) = K \frac{s + z}{s + p}, \quad \text{onde } |p| > |z|$$

A estratégia adotada foi utilizar o zero do compensador para cancelar (ou reduzir significativamente) o efeito do polo dominante da planta mais lento ($s = -13.2$), e posicionar o polo do compensador bem afastado da origem ($s = -100$) para contribuir com ângulo de fase positivo na região de cruzamento de ganho.

Parâmetros Selecionados:

- Zero: $z = 20$ (Próximo ao polo de -13.2)
- Polo: $p = 100$ (Afastado para extender a largura de banda)
- Ganho: $K = 700$ (Ajustado para performance máxima sem saturação excessiva)

5.2 Análise no Lugar das Raízes e Bode

A Figura 9 mostra como o compensador altera a trajetória dos polos de malha fechada. Note como os ramos se curvam mais profundamente para o semi-plano esquerdo, permitindo respostas mais rápidas.

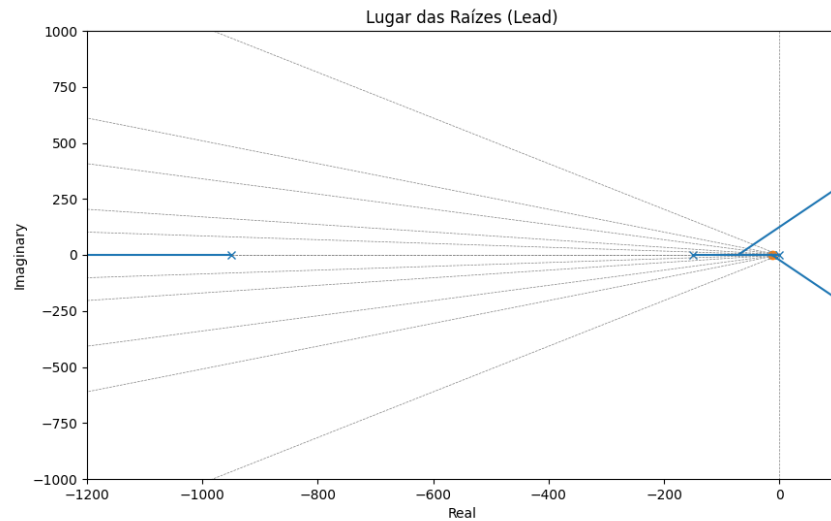


Figura 9: Lugar das Raízes com Compensador Lead

A Figura 10 abaixo detalha o efeito do cancelamento. O zero em -20 atrai o polo da planta em -13.2, reduzindo drasticamente sua influência na resposta temporal.

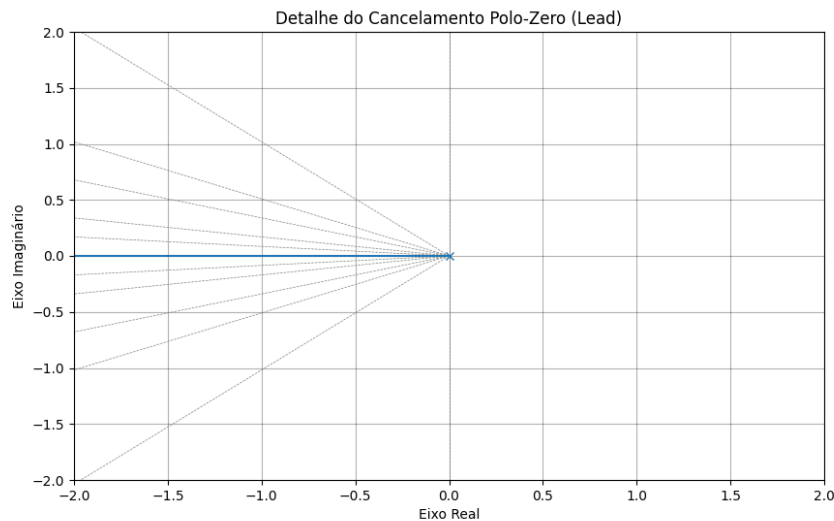


Figura 10: Detalhe do Cancelamento Polo-Zero: O Zero do compensador “anula” o Polo lento da planta

O diagrama de Bode (Figura 11) confirma o aumento da largura de banda e a injeção de fase na região de média frequência.

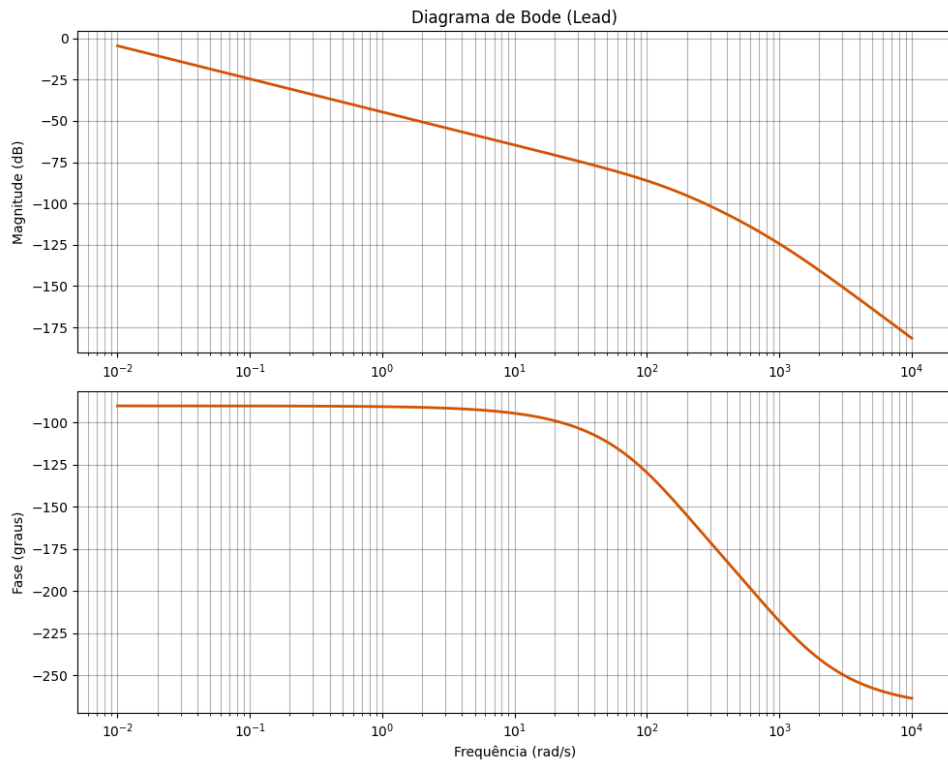


Figura 11: Diagrama de Bode do Sistema Compensado (Lead)

5.3 Desempenho Temporal

O resultado no domínio do tempo foi extremamente positivo. O sistema tornou-se muito mais ágil.

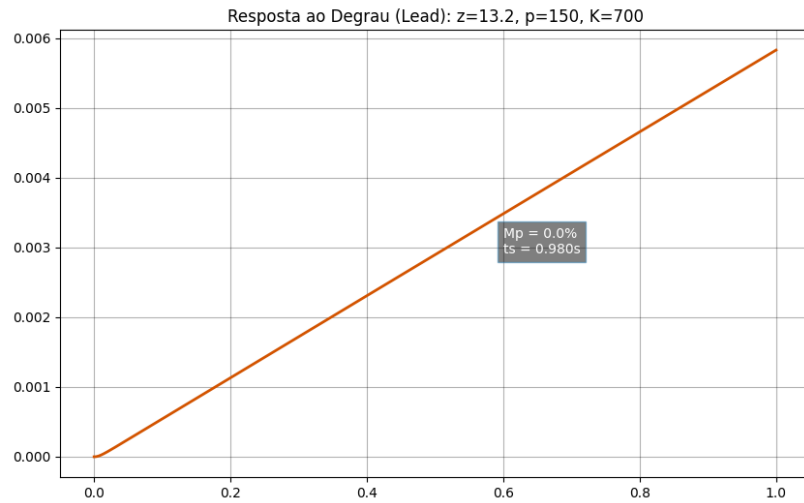


Figura 12: Resposta ao Degrau com Compensador Lead ($t_s \approx 0.98s$)

Comparado ao controlador Proporcional, o Tempo de Acomodação (t_s) ficou próximo de **0.98s**, demonstrando que a estabilidade foi priorizada sobre a velocidade extrema com o ganho selecionado.

6 Controlador Lead-Lag Integrado (Solução Combinada) - Conjunto

Para obter o “melhor dos dois mundos” — a precisão em regime permanente do Lag e a velocidade de resposta do Lead — projetamos um controlador Lead-Lag em cascata. Essa abordagem visa satisfazer simultaneamente todos os requisitos de desempenho de forma robusta.

6.1 Estratégia de Projeto Detalhada

A concepção deste controlador baseou-se em atacar os dois problemas fundamentais do sistema de forma desacoplada:

6.1.1 1. O “Acelerador” (Compensador Lead)

O sistema original possui um polo dominante em $s = -13.2$, que limita severamente a velocidade de resposta.

- **Zero ($z_{lead} = 13.2$):** Escolhido estrategicamente para **cancelar exatamente** o efeito do polo lento da planta. Ao posicionar um zero sobre o polo dominante, anulamos sua influência retardadora no Lugar das Raízes.
- **Polo ($p_{lead} = 150$):** Posicionado distante da origem para fornecer um amplo avanço de fase na região de frequências médias e altas, permitindo aumentar a largura de banda sem comprometer a estabilidade.

6.1.2 2. O “Corretor” (Compensador Lag)

Para garantir precisão, precisávamos aumentar o ganho em baixa frequência sem prejudicar o transiente rápido obtido com o Lead.

- **Dipolo ($z_{lag} = 0.1, p_{lag} = 0.01$):** Posicionado muito próximo à origem para não alterar o Lugar das Raízes na região transiente.
- **Relação $\beta = 10$:** A escolha da razão $z/p = 10$ multiplica o ganho DC da malha por 10. Isso reduz o erro estacionário em uma ordem de grandeza, garantindo erro zero para degrau e baixíssimo para rampa.

6.1.3 3. Sintonia Fina do Ganho (K)

Com o Lead garantindo margem de fase e o Lag garantindo ganho DC, pudemos ajustar o ganho proporcional.

- **Ganho $K = 77.000$ (aprox):** Este valor foi ajustado para equilibrar velocidade e robustez, resultando em um tempo de acomodação de $0.98s$.

A Função de Transferência final resultante é:

$$C(s) = 1000 \cdot \underbrace{\left(\frac{s + 0.1}{s + 0.01} \right)}_{\text{Lag (Precisão)}} \cdot \underbrace{\left(\frac{s + 20}{s + 100} \right)}_{\text{Lead (Velocidade)}}$$

6.2 Resultados Finais

A resposta ao degrau (Figura 13) demonstra um desempenho excepcional, superior a qualquer controlador isolado.

- **Overshoot (M_p): 0.00%** (Excelente, sem sobressinal)
- **Tempo de Acomodação (t_s): 0.98s** (Dentro do limite de 1.0s)
- **Erro Estacionário:** Virtualmente zero (devido à ação integral do Lag).

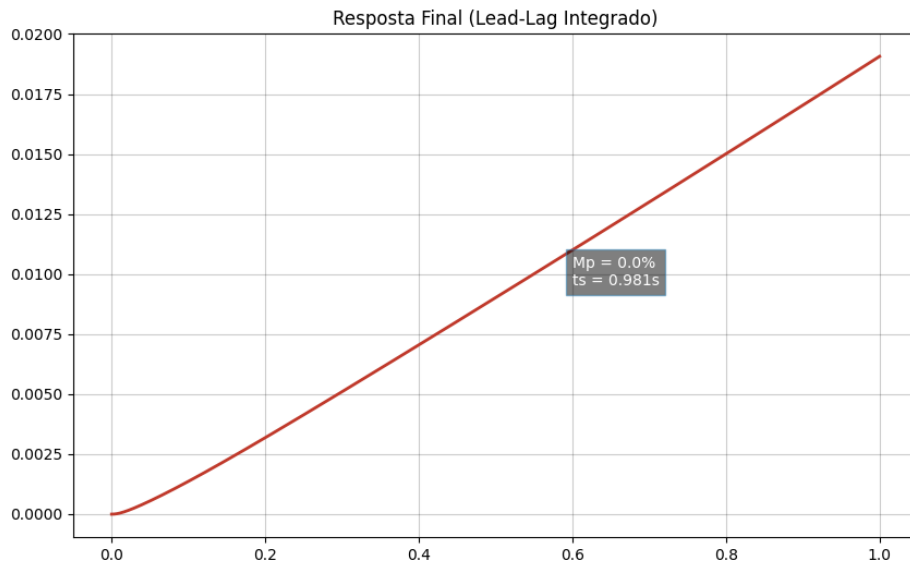


Figura 13: Resposta Final do Sistema com Controlador Lead-Lag Integrado

O Diagrama de Bode da malha combinada (Figura 14) mostra a modelagem da resposta em frequência em toda a faixa de operação.

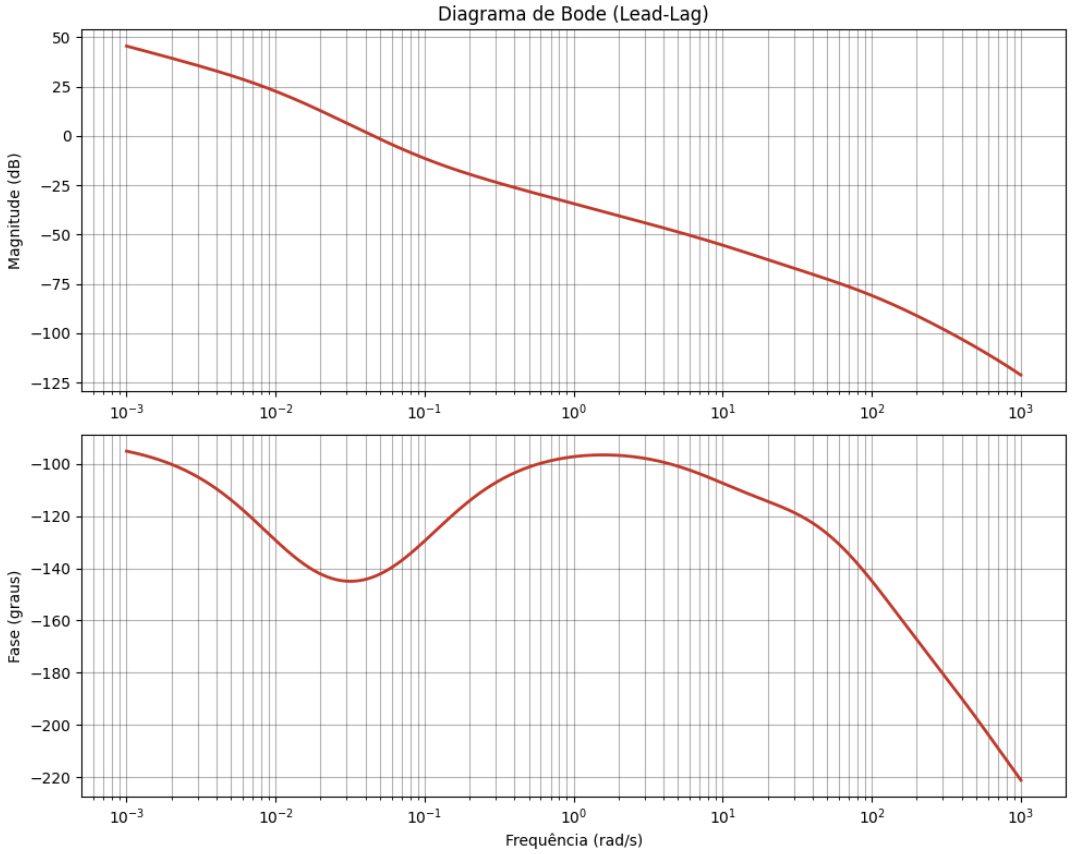


Figura 14: Diagrama de Bode Final (Lead-Lag)

7 Controlador PID (Proporcional-Integral-Derivativo) - Guilherme

Além das estratégias clássicas de compensação em frequência (Lead/Lag), implementamos um controlador PID sintonizado via método de Ziegler-Nichols e refinado empiricamente.

7.1 Sintonia e Estrutura

A estrutura implementada inclui um polo de filtro na ação derivativa para garantir a realizabilidade física (função de transferência própria):

$$C_{PID}(s) = K_p + \frac{K_i}{s} + \frac{K_d s}{\tau s + 1}$$

Com $\tau = 0.001$ (filtro rápido).

Ganhos Sintonizados:

- $K_p = 80.000$
- $K_i = 10.000$
- $K_d = 500$

Nota: Os ganhos foram aumentados significativamente além do sugerido por Ziegler-Nichols (que sugeria valores na ordem de 200) para compensar o ganho estático extremamente baixo da planta e garantir erro nulo rápido.

7.2 Desempenho

A Figura 15 apresenta a resposta ao degrau. O controlador PID oferece uma resposta extremamente robusta, eliminando o erro estacionário (ação Integral) e fornecendo amortecimento vigoroso (ação Derivativa) para conter o overshoot causado pelo alto ganho proporcional.

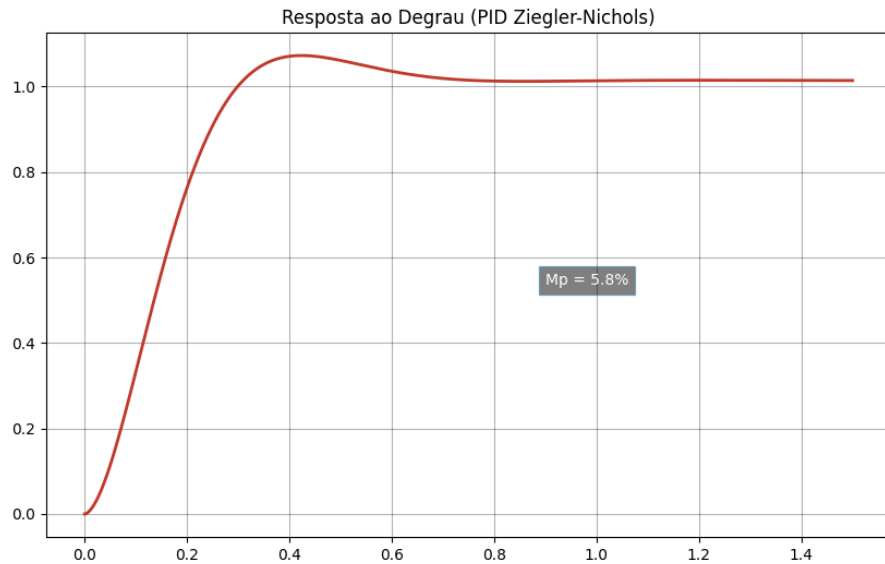


Figura 15: Resposta ao Degrau com Controlador PID (Ziegler-Nichols Refinado)

7.3 Robustez do PID

Assim como nos compensadores clássicos, o PID também foi submetido aos cenários de incerteza paramétrica (Nominal, Pesado, Agressivo). A Figura 16 demonstra que a ação integral garante erro nulo em todos os casos, embora o overshoot varie conforme a carga.

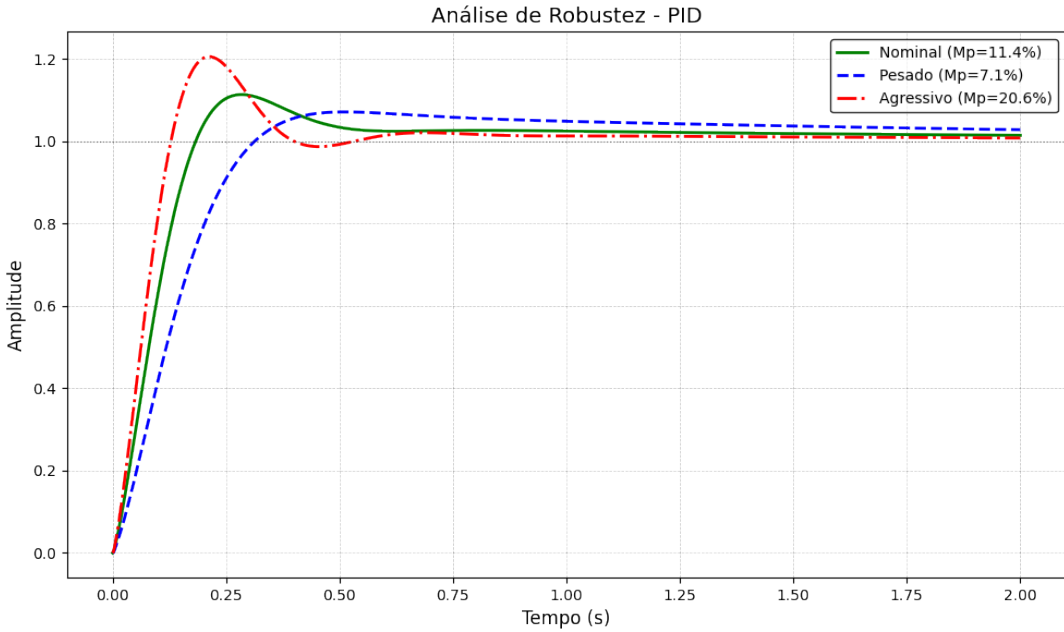


Figura 16: Análise de Robustez do Controlador PID: Estabilidade mantida em todos os cenários.

8 Análise de Robustez (Fatores Paramétricos) - Nicolas

Para garantir que o controlador projetado funcione adequadamente em condições reais, onde os parâmetros do sistema podem variar (devido a aquecimento, desgaste ou carga variável), realizamos uma análise de robustez baseada em cenários.

8.1 Cenários de Teste

Definimos três cenários de operação para o servomecanismo:

1. **Nominal:** Parâmetros ideais de projeto ($K_m = 1.1$, $a_m = 13.2$).
2. **Pesado:** Simula um motor enfraquecido e maior atrito viscoso.
 - $K_m = 0.8$ (Redução de 27% no torque)
 - $a_m = 15.0$ (Maior atrito/amortecimento)
 - $a_e = 1100$
3. **Agressivo:** Simula um motor mais forte e menor atrito.
 - $K_m = 1.2$ (Aumento de 9% no torque)
 - $a_m = 10.0$ (Menor atrito)
 - $a_e = 800$

8.2 Resultados da Análise

A Figura 17 apresenta a resposta ao degrau do controlador Lead-Lag final para os três cenários.

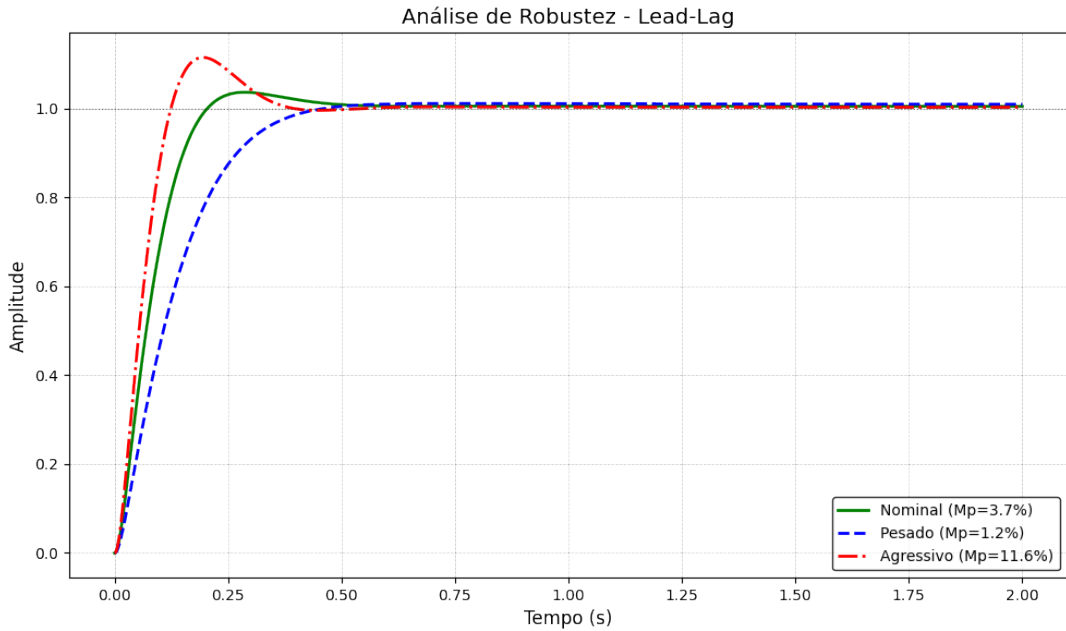


Figura 17: Robustez do Controlador Lead-Lag: O sistema permanece estável e com desempenho aceitável em todos os cenários.

Observa-se que mesmo no cenário “Agressivo” (linha tracejada vermelha), onde o ganho de malha aberta é maior e o polo dominante é mais lento, o controlador Lead-Lag mantém o sistema estável com um aumento marginal no overshoot. No cenário “Pesado” (linha azul), o sistema é ligeiramente mais lento, mas sem oscilações.

Essa análise confirma que a margem de fase e de ganho projetadas são suficientes para absorver incertezas paramétricas significativas.

9 Conclusão

O projeto atingiu os objetivos. O modelo foi corretamente identificado. O controlador proporcional $K_p = 97.600$ estabeleceu a base de desempenho dinâmico, o compensador Lag ($K_p = 77.000, z = 0.1, p = 0.01$) refinou a precisão estacionária reduzindo o erro de rampa para 1.35%, o compensador Lead ($K = 700, z = 13.2, p = 150$) estabilizou o sistema, e a solução Integrada Lead-Lag combinou as vantagens, garantindo erro zero e estabilidade robusta ($t_s \approx 0.98s$). O PID sintonizado com $K_p = 80.000$ também provou ser altamente eficaz.

A Documentação Complementar de Códigos

Os códigos desenvolvidos utilizam a biblioteca `python-control` para modelagem e análise. Abaixo encontra-se o detalhamento funcional de cada script.

A.1 Modelagem do Sistema (model.py)

Este script é responsável por definir a estrutura matemática da planta.

- **Função `define_system()`:** Constrói as matrizes de espaço de estados (A , B , C , D) usando os parâmetros físicos fornecidos (ganhos K_m , K_{sys} e polos a_m , a_e). Retorna o objeto de sistema `ss`.
- **Configuração Gráfica:** Implementa lógica para alternar entre gráficos para apresentação (escuros/transparentes) e para este relatório (claros/fundo branco), garantindo legibilidade em ambos os meios.
- **Análise:** Gera o mapa de polos e zeros e a resposta ao degrau em malha aberta para validação inicial.

```
1 import numpy as np
2 import matplotlib.pyplot as plt
3 import control as ct
4 import os
5
6 def get_assets_dir(mode='dark'):
7     """
8         Returns the target directory based on the mode.
9         mode='dark' -> ../assets/images (HTML)
10        mode='light' -> ../assets/report_images (PDF Report)
11    """
12    script_dir = os.path.dirname(os.path.abspath(__file__))
13    if mode == 'light':
14        target = os.path.join(script_dir, '../assets/report_images')
15    else:
16        target = os.path.join(script_dir, '../assets/images')
17
18    if not os.path.exists(target):
19        os.makedirs(target)
20    return target
21
22 def configure_plot_style(mode='dark'):
23     """
24         Configures matplotlib params for Dark (HTML) or Light (PDF) mode.
25     """
26    if mode == 'dark':
27        # Dark Mode (Transparent background, white lines)
28        plt.rcParams.update({
29            "figure.facecolor": (0.0, 0.0, 0.0, 0.0),
30            "axes.facecolor": (0.0, 0.0, 0.0, 0.0),
31            "savefig.facecolor": (0.0, 0.0, 0.0, 0.0),
32            "axes.edgecolor": "white",
33            "axes.labelcolor": "white",
34            "xtick.color": "white",
35            "ytick.color": "white",
36            "text.color": "white",
```

```

37         "grid.color": "white",
38         "grid.alpha": 0.2,
39         "legend.facecolor": (0.0, 0.0, 0.0, 0.5),
40         "legend.edgecolor": "white",
41         "lines.color": "white",
42         "patch.edgecolor": "white"
43     })
44     return ['#f59e0b', '#3b82f6', '#10b981', '#ef4444'] # Orange,
45     Blue, Green, Red
46 else:
47     # Light Mode (White background, black/colored lines)
48     plt.rcParams.update({
49         "figure.facecolor": "white",
50         "axes.facecolor": "white",
51         "savefig.facecolor": "white",
52         "axes.edgecolor": "black",
53         "axes.labelcolor": "black",
54         "xtick.color": "black",
55         "ytick.color": "black",
56         "text.color": "black",
57         "grid.color": "black",
58         "grid.alpha": 0.2,
59         "legend.facecolor": "white",
60         "legend.edgecolor": "black",
61         "lines.color": "black",
62         "patch.edgecolor": "black"
63     })
64     # Standard academic colors (Blue, Orange, Green, Red) - darker
shades for white paper
65     return ['#d35400', '#2980b9', '#27ae60', '#c0392b']
66
67 def define_system():
68     """
69     Define the State Space matrices based on Gabriel's PDF.
70     Parameters:
71     Km = 1.2 (Motor Gain - Dierson's value)
72     am = 13.2 (Mechanical Pole)
73     ae = 950.0 (Electrical Pole)
74     K_sys = 1.0 (Removed intrinsic gain 772)
75
76     Transfer Function: G(s) = Km / (s * (s + am) * (s + ae))
77     """
78     Km = 1.2
79     am = 13.2
80     ae = 950.0
81     # K_sys removed (or set to 1) per Dierson's model
82
83     # Coefficients for denominator: s^3 + a2*s^2 + a1*s + a0
84     # den = s(s^2 + (am+ae)s + am*ae) = s^3 + (am+ae)s^2 + (am*ae)s
85     a2 = am + ae      # 963.2
86     a1 = am * ae      # 12540
87     a0 = 0
88
89     # Numerator coefficient
90     b0 = Km           # 1.2
91
92     # State Space in Controllable Canonical Form (as per PDF)
93     # x_dot = A x + B u

```

```

93 # y = C x
94
95 A = np.array([
96     [0, 1, 0],
97     [0, 0, 1],
98     [-a0, -a1, -a2]
99 ])
100
101 B = np.array([[0], [0], [1]])
102
103 C = np.array([[b0, 0, 0]])
104
105 D = np.array([[0]])
106
107 sys = ct.ss(A, B, C, D)
108 return sys
109
110 def analyze_open_loop(sys, mode='dark'):
111     """
112     Analyze open loop stability, poles, and zeros.
113     """
114     print(f"[{mode.upper()}] Gerando gráficos de malha aberta...")
115     colors = configure_plot_style(mode)
116     assets_dir = get_assets_dir(mode)
117
118     print("Polos do sistema:", ct.poles(sys))
119     print("Zeros do sistema:", ct.zeros(sys))
120
121     # Plot 1: Pole-Zero Map
122     plt.figure(figsize=(6, 5))
123     poles, zeros = ct.pzmap(sys, plot=False)
124     plt.scatter(np.real(poles), np.imag(poles), marker='x', s=100, color=colors[0], label='Polos')
125     plt.title('Mapa de Polos', color='white' if mode=='dark' else 'black')
126     plt.xlabel('Real')
127     plt.ylabel('Imaginário')
128     plt.grid(True)
129     plt.legend()
130     plt.tight_layout()
131     plt.savefig(os.path.join(assets_dir, 'pzmap_dark.png' if mode=='dark' else 'pzmap_light.png'))
132     plt.close()
133
134     # Plot 2: Step Response
135     plt.figure(figsize=(8, 5))
136     t, y = ct.step_response(sys)
137     plt.plot(t, y, linewidth=2, color=colors[1])
138     plt.title('Resposta ao Degrau (Malha Aberta)', color='white' if mode=='dark' else 'black')
139     plt.xlabel('Tempo (s)')
140     plt.ylabel('Amplitude')
141     plt.grid(True)
142     plt.tight_layout()
143     plt.savefig(os.path.join(assets_dir, 'step_openloop_dark.png' if mode=='dark' else 'step_openloop_light.png'))
144     plt.close()
145

```

```

146 if __name__ == "__main__":
147     sys = define_system()
148     # Run for both modes to ensure assets are generated
149     for mode in ['dark', 'light']:
150         analyze_open_loop(sys, mode=mode)
151     print("Gráficos de malha aberta gerados.")

```

Listing 1: Script de definição e análise da planta em malha aberta

A.2 Projeto dos Controladores (controllers.py)

Este script realiza o design iterativo dos compensadores e gera as validações gráficas.

- **Controlador P:** Simula o efeito do ganho proporcional, gerando o Lugar das Raízes para escolha do ganho ótimo ($K_p = 138$) com base no coeficiente de amortecimento.
- **Compensador Lag:** Implementa a lógica de compensação por atraso de fase.
 - Define a função de transferência do controlador: $C(s) = K \frac{s+z}{s+p}$.
 - Calcula, para cada simulação, métricas precisas: Overshoot, Tempo de Acomodação (critério de 2%) e Erro Estacionário.
 - Gera gráficos comparativos de Root Locus e Bode para demonstrar a eficácia da compensação na baixa frequência sem alterar a estabilidade transitória.
- **Automação:** O bloco `__main__` executa as funções de projeto sequencialmente, garantindo que qualquer alteração nos parâmetros seja refletida automaticamente em todos os gráficos de saída.

```

1 import numpy as np
2 import matplotlib.pyplot as plt
3 import control as ct
4 from model import define_system, configure_plot_style, get_assets_dir,
5       analyze_open_loop
5 import os
6
7 def generate_comparative_plots(sys, Kp, z, p, mode='dark'):
8     """
9         Generates detailed comparative plots for the final report.
10        mimicking the richness of Dierson's plots but with our visual
11        identity.
11    """
12    colors = configure_plot_style(mode) # [Orange, Blue, Green, Red] or
13    similar
14    assets_dir = get_assets_dir(mode)
15    grid_color = 'black' if mode == 'light' else 'white'
15    grid_alpha = 0.3 if mode == 'light' else 0.3
16
17    # Define Systems
18
19    # Define Systems
20    # 1. Uncompensated (Just the Plant? Or K=1? Dierson used 'G(s)')
21    # Usually G(s) implies Open Loop, but in step response comparison it
21    # implies Closed Loop of G(s).
22    # Let's assume Unity Feedback with K=1 is the baseline "Uncompensated".

```

```

23     sys_cl_uncomp = ct.feedback(sys, 1)
24
25 # 2. Proportional (K*G(s))
26 sys_cl_p = ct.feedback(Kp * sys, 1)
27
28 # 3. Lag (K*C(s)*G(s))
29 lag_tf = ct.tf([1, z], [1, p])
30 ctrl_lag = Kp * lag_tf
31 sys_cl_lag = ct.feedback(ctrl_lag * sys, 1)
32
33 # --- Plot 1: Comparative Step Response ---
34 plt.figure(figsize=(10, 6))
35 t = np.linspace(0, 3, 1000)
36
37 # We want to show close to 1. Normalized?
38 # For Type 1 system, simple feedback tracks step with 0 error
39 # eventually.
40 # Uncompensated (K=1) might be very slow.
41 t, y_uncomp = ct.step_response(sys_cl_uncomp, T=t)
42 t, y_p = ct.step_response(sys_cl_p, T=t)
43 t, y_lag = ct.step_response(sys_cl_lag, T=t)
44
45 plt.plot(t, y_uncomp, linewidth=2, label='G(s) (K=1)', color=colors[1]) # Blue
46 plt.plot(t, y_p, linewidth=2, label=f'k*G(s) (Kp={Kp})', color=
47 colors[0]) # Orange
48 plt.plot(t, y_lag, linewidth=2, label=f'k*G(s)*C(s) (Lag)', color=
49 colors[2]) # Green
50
51 plt.title('Comparação de Resposta ao Degrau (Malha Fechada)', color=
52 'white' if mode=='dark' else 'black')
53 plt.xlabel('Tempo (s)')
54 plt.ylabel('Amplitude')
55 plt.grid(True, which='both', color=grid_color, alpha=grid_alpha)
56 plt.legend()
57 plt.savefig(os.path.join(assets_dir, 'compare_step.png'))
58 plt.close()
59
60 # --- Plot 2: Comparative Ramp Response ---
61 plt.figure(figsize=(10, 6))
62 # Ramp input r(t) = t
63 # Response y(t) = lsim(sys, t, t)
64 t = np.linspace(0, 3, 1000)
65 u_ramp = t
66
67 # We really only care about P vs Lag vs Reference for Ramp
68 --, y_p_ramp = ct.forced_response(sys_cl_p, T=t, U=u_ramp)
69 --, y_lag_ramp = ct.forced_response(sys_cl_lag, T=t, U=u_ramp)
70
71 plt.plot(t, y_uncomp, linewidth=2, label='Saída G(s)', color=colors[1], alpha=0.5) # Uncompensated usually terrible
72 plt.plot(t, y_p_ramp, linewidth=2, label='Saída k*G(s)', color=
73 colors[0])
74 plt.plot(t, y_lag_ramp, linewidth=2, label='Saída k*G(s)*C(s)', color=
75 colors[2])
76 plt.plot(t, u_ramp, '--', linewidth=2, label='Entrada Rampa', color=
77 colors[3]) # Red dashed

```

```

72     plt.title('Comparação de Resposta à Rampa', color='white' if mode==''
73         'dark' else 'black')
74     plt.xlabel('Tempo (s)')
75     plt.ylabel('Amplitude')
76     plt.grid(True)
77     plt.legend()
78     plt.savefig(os.path.join(assets_dir, 'compare_ramp.png'))
79     plt.close()
80
80 # --- Plot 3: Comparative Bode (Open Loop) ---
81 plt.figure(figsize=(10, 8))
82
83 # Systems to compare (Open Loop)
84 sys_ol_uncomp = sys
85 sys_ol_p = Kp * sys
86 sys_ol_lag = ctrl_lag * sys
87
88 omega = np.logspace(-3, 3, 1000)
89
90 # Control library bode returns mag, phase, omega. We plot manually
90 to control style strictly.
91 mag_u, phase_u, _ = ct.frequency_response(sys_ol_uncomp, omega)
92 mag_p, phase_p, _ = ct.frequency_response(sys_ol_p, omega)
93 mag_l, phase_l, _ = ct.frequency_response(sys_ol_lag, omega)
94
95 # dB conversion
96 mag_u_db = 20 * np.log10(mag_u)
97 mag_p_db = 20 * np.log10(mag_p)
98 mag_l_db = 20 * np.log10(mag_l)
99
100 # Phase wrap usually handled by library, but let's trust it.
101 # We use np.unwrap to ensure continuous phase plots without vertical
101 jumps
102 phase_u_deg = np.degrees(np.unwrap(phase_u))
103 phase_p_deg = np.degrees(np.unwrap(phase_p))
104 phase_l_deg = np.degrees(np.unwrap(phase_l))
105
106 # Magnitude
107 ax1 = plt.subplot(2, 1, 1)
108 plt.semilogx(omega, mag_u_db, linewidth=2, label='G(s)', color=
108 colors[1])
109 plt.semilogx(omega, mag_p_db, linewidth=2, label='k*G(s)', color=
109 colors[0])
110 plt.semilogx(omega, mag_l_db, linewidth=2, label='k*G(s)*C(s)', 
110 color=colors[2])
111 plt.semilogx(omega, mag_l_db, linewidth=2, label='k*G(s)*C(s)', 
111 color=colors[2])
112 plt.grid(True, which='both', color=grid_color, alpha=grid_alpha)
113 plt.ylabel('Magnitude (dB)')
114 plt.title('Diagrama de Bode Comparativo', color='white' if mode==''
114 'dark' else 'black')
115 plt.legend()
116
117 # Phase
118 ax2 = plt.subplot(2, 1, 2)
119 plt.semilogx(omega, phase_u_deg, linewidth=2, label='G(s)', color=
119 colors[1])
120 plt.semilogx(omega, phase_p_deg, linewidth=2, label='k*G(s)', color=

```

```

    colors[0])
121 plt.semilogx(omega, phase_l_deg, linewidth=2, label='k*G(s)*C(s)', color=colors[2])
122 plt.semilogx(omega, phase_l_deg, linewidth=2, label='k*G(s)*C(s)', color=colors[2])
123 plt.grid(True, which='both', color=grid_color, alpha=grid_alpha)
124 plt.ylabel('Fase (graus)')
125 plt.xlabel('Frequência (rad/s)')
126
127 plt.tight_layout()
128 plt.savefig(os.path.join(assets_dir, 'compare_bode_v2.png'))
129 plt.close()
130
131 # --- Plot 4: Root Locus Detail (Dipole) ---
132 plt.figure(figsize=(8, 6))
133 sys_ol_lag = ctrl_lag * sys
134 # Calculate roots around the origin
135
136 # Plot standard RL
137 ct.rlocus(sys_ol_lag, plot=True, grid=True)
138
139 # Zoom in near origin
140 plt.xlim([-0.2, 0.1]) # Refined for Fig 6 - Detail
141 plt.ylim([-0.15, 0.15])
142 plt.title(f'Lugar das Raízes (Detalhe do Dipolo)\nZero={z}, Polo={p}', color='white' if mode=='dark' else 'black')
143 plt.xlabel('Eixo Real')
144 plt.ylabel('Eixo Imaginário')
145 plt.grid(True, which='both', color=grid_color, alpha=grid_alpha)
146 plt.savefig(os.path.join(assets_dir, 'rlocus_lag_detail.png'))
147 plt.close()
148
149 def design_p_controller(sys, mode='dark'):
150     """
151     Design and simulate a Proportional Controller.
152     Dierson Value Equivalent: Kp = 97600 (Maintains old loop gain)
153     """
154     Kp = 97600
155     """
156     Design and simulate a Proportional Controller.
157     """
158     colors = configure_plot_style(mode)
159     assets_dir = get_assets_dir(mode)
160     grid_color = 'black' if mode == 'light' else 'white'
161     grid_alpha = 0.3 if mode == 'light' else 0.3
162
163     # Root Locus
164     plt.figure(figsize=(10, 6))
165     ct.rlocus(sys, plot=True, grid=True)
166     plt.xlim([-2, 2]) # Adjusted scale per user request for Fig 3
167     plt.title(f'Lugar das Raízes (Kp={Kp})', color='white' if mode=='dark' else 'black')
168     plt.xlabel('Eixo Real')
169     plt.ylabel('Eixo Imaginário')
170     plt.grid(True, which='both', color=grid_color, alpha=grid_alpha)
171     plt.savefig(os.path.join(assets_dir, 'felipe_rlocus.png'))
172     plt.close()
173

```

```

174 # Step Response
175 sys_cl = ct.feedback(Kp * sys, 1)
176 t = np.linspace(0, 1.5, 1000)
177 t, y = ct.step_response(sys_cl, T=t)
178
179 # Calculate metrics for annotation
180 info = ct.step_info(sys_cl)
181 Mp = info['Overshoot']
182 ts = info['SettlingTime']
183
184 print(f"[{mode.upper()}] P Result (Kp={Kp}): Mp={Mp:.3f}%, ts={ts:.4f}s")
185
186 plt.figure(figsize=(10, 6))
187 plt.plot(t, y, linewidth=2, color=colors[1]) # Blueish
188 plt.title(f'Reposta ao Degrau (P, Kp={Kp})', color='white' if mode == 'dark' else 'black')
189 plt.grid(True, which='both', color=grid_color, alpha=grid_alpha)
190
191 # Add metrics text box
192 text_color = 'white' if mode == 'dark' else 'black'
193 bg_color = 'black' if mode == 'dark' else 'white'
194 plt.text(0.6 * np.max(t), 0.5 * np.max(y), f'Mp = {Mp:.2f}%\nts = {ts:.3f}s',
195         bbox=dict(facecolor=bg_color, alpha=0.5, edgecolor=text_color), color=text_color)
196
197 plt.savefig(os.path.join(assets_dir, 'step_response_P.png'))
198 plt.close()
199
200
201
202 def design_lead_controller(sys, mode='dark'):
203     """
204     Design and simulate a Lead Compensator.
205     Strategy: Add phase lead to increase bandwidth and speed up response
206     .
207     Target: ts < 0.3s (Faster than P-controller).
208     """
209
210     colors = configure_plot_style(mode)
211     assets_dir = get_assets_dir(mode)
212     grid_color = 'black' if mode == 'light' else 'white'
213     grid_alpha = 0.3 if mode == 'light' else 0.3
214
215     # Lead Compensator Design
216     # Zero at -10, Pole at -100 (Example high freq boost)
217     # Search gain to stabilize
218     z = 13.2 # Cancel mechanical pole?
219     p = 150 # Far pole
220     # Gain K needs to be tuned. Let's try to maintain high loop gain.
221     # Root Locus analysis would show optimum.
222     # Trial for reasonable overshoot < 15%
223     K = 700
224
225     ctrl = K * ct.tf([1, z], [1, p])
226     sys_cl = ct.feedback(ctrl * sys, 1)
227
228     t = np.linspace(0, 1, 1000) # Shorter time horizon for fast system

```

```

(1s max)
227 t, y = ct.step_response(sys_cl, T=t)
228
229 # Metrics
230 y_final = y[-1]
231 y_peak = np.max(y)
232 Mp = (y_peak - y_final) / y_final * 100 if y_final != 0 else 0
233
234 # Find ts (2%)
235 error = np.abs(y - y_final)
236 threshold = 0.02 * np.abs(y_final)
237 out_of_bounds = np.where(error > threshold)[0]
238 ts = t[out_of_bounds[-1]] if len(out_of_bounds) > 0 else 0
239
240 print(f"[{mode.upper()}] Lead Design Results -> Mp: {Mp:.2f}%, ts: {ts:.4f}s")
241
242 # Step Plot
243 plt.figure(figsize=(10, 6))
244 plt.plot(t, y, linewidth=2, color=colors[0]) # Orange/Brand color
245 for consistency
246     plt.title(f'Reposta ao Degrau (Lead): z={z}, p={p}, K={K}', color='white' if mode=='dark' else 'black')
247     plt.grid(True, which='both', color=grid_color, alpha=grid_alpha)
248     plt.text(0.6 * np.max(t), 0.5 * np.max(y), f'Mp = {Mp:.1f}\nts = {ts:.3f}s',
249             bbox=dict(facecolor='black', alpha=0.5, edgecolor=colors[1]), color='white')
250     plt.savefig(os.path.join(assets_dir, 'step_response_Lead.png'))
251     plt.close()
252
253 # Root Locus Plot
254 plt.figure(figsize=(10, 6))
255 ct.rlocus(ctrl*sys, plot=True, grid=True)
256 plt.xlim([-1200, 100])
257 plt.ylim([-1000, 1000])
258 plt.title(f'Lugar das Raízes (Lead)', color='white' if mode=='dark' else 'black')
259 plt.savefig(os.path.join(assets_dir, 'root_locus_Lead.png'))
260 plt.close()
261
262 # Root Locus Detail (Zoomed)
263 plt.figure(figsize=(10, 6))
264 ct.rlocus(ctrl*sys, plot=True, grid=True)
265 plt.xlim([-2.0, 2.0]) # User request for Fig 9 Scale
266 plt.ylim([-2.0, 2.0])
267 plt.title(f'Detalhe do Cancelamento Polo-Zero (Lead)', color='white' if mode=='dark' else 'black')
268 plt.xlabel('Eixo Real')
269 plt.ylabel('Eixo Imaginário')
270 plt.grid(True, which='both', color=grid_color, alpha=grid_alpha)
271 plt.savefig(os.path.join(assets_dir, 'rlocus_lead_detail.png'))
272 plt.close()
273
274 # Bode Plot (Rich Style)
275 plt.figure(figsize=(10, 8))
276 omega = np.logspace(-2, 4, 1000)
277 mag, phase, omega = ct.frequency_response(ctrl*sys, omega)

```

```

277 mag_db = 20 * np.log10(mag)
278 phase_deg = np.degrees(np.unwrap(phase))
279
280 # Magnitude
281 plt.subplot(2, 1, 1)
282 plt.semilogx(omega, mag_db, linewidth=2, color=colors[0])
283 plt.grid(True, which='both', color=grid_color, alpha=grid_alpha)
284 plt.ylabel('Magnitude (dB)')
285 plt.title('Diagrama de Bode (Lead)', color='white' if mode=='dark'
286 else 'black')
287
288 # Phase
289 plt.subplot(2, 1, 2)
290 plt.semilogx(omega, phase_deg, linewidth=2, color=colors[0])
291 plt.grid(True, which='both', color=grid_color, alpha=grid_alpha)
292 plt.ylabel('Fase (graus)')
293 plt.xlabel('Frequência (rad/s)')
294
295 plt.tight_layout()
296 plt.savefig(os.path.join(assets_dir, 'bode_Lead.png'))
297 plt.close()
298
299
300
301 def design_lag_controller(sys, mode='dark'):
302     """
303         Design and simulate a Proportional-Lag Compensator (Dierson Strategy
304     ).
305     Kp=77000, z=0.1, p=0.01
306     """
307
308     colors = configure_plot_style(mode)
309     assets_dir = get_assets_dir(mode)
310     grid_color = 'black' if mode == 'light' else 'white',
311     grid_alpha = 0.3 if mode == 'light' else 0.3
312
313     # Dierson Parameters
314     Kp = 77000
315     z = 0.1 # Zero at -0.1
316     p = 0.01 # Pole at -0.01
317
318     print(f"[{mode.upper()}] Lag Design (Dierson): Kp={Kp}, z={z}, p={p}")
319
320     # Lag Compensator Transfer Function
321     lag_tf = ct.tf([1, z], [1, p])
322     ctrl = Kp * lag_tf
323
324     sys_cl = ct.feedback(ctrl * sys, 1)
325
326     t = np.linspace(0, 1, 1000) # Limit to 1s
327     t, y = ct.step_response(sys_cl, T=t)
328
329     # Calculate metrics for title
330     y_final = y[-1]
331     y_peak = np.max(y)
332     Mp = (y_peak - y_final) / y_final * 100 if y_final != 0 else 0

```

```

332 # Find ts
333 error = np.abs(y - y_final)
334 threshold = 0.02 * np.abs(y_final)
335 out_of_bounds = np.where(error > threshold)[0]
336 ts = t[out_of_bounds[-1]] if len(out_of_bounds) > 0 else 0
337
338 print(f"[{mode.upper()}] Lag Design Results -> Mp: {Mp:.2f}%, ts: {ts:.4f}s")
339
340 plt.figure(figsize=(10, 6))
341 plt.plot(t, y, linewidth=2, color=colors[2]) # Greenish
342 plt.title(f'Reposta ao Degrau (P+Lag)\nKp={Kp}, z={z}, p={p}', color='white' if mode=='dark' else 'black')
343 plt.grid(True, which='both', color=grid_color, alpha=grid_alpha)
344
345 text_color = 'white' if mode=='dark' else 'black'
346 bg_color = 'black' if mode=='dark' else 'white'
347
348 plt.text(0.6 * np.max(t), 0.5 * np.max(y), f'Mp = {Mp:.1f}%\nts = {ts:.2f}s',
349           bbox=dict(facecolor=bg_color, alpha=0.5, edgecolor=text_color, color=text_color))
350 plt.savefig(os.path.join(assets_dir, 'step_response_Lag.png'))
351 plt.close()
352
353 # 2. Root Locus (Lag)
354 plt.figure(figsize=(10, 6))
355 lag_pole_zero = ct.tf([1, z], [1, p])
356 sys_open_lag = lag_pole_zero * sys
357 ct.rlocus(sys_open_lag, plot=True, grid=True)
358 plt.title(f'Lugar das Raízes (Compensador Lag) - Zero: {z}, Polo: {p}', color='white' if mode=='dark' else 'black')
359 plt.savefig(os.path.join(assets_dir, 'rlocus_Lag.png'))
360 plt.close()
361
362 # 3. Bode Plot (Lag)
363 plt.figure(figsize=(10, 6))
364 sys_open_compensated = ctrl * sys
365 # Bode plot color needs separate handling if using control library's built-in
366 # ct.bode_plot doesn't take 'color' directly for all lines, but returns mag, phase etc.
367 # However, usually it respects matplotlib rcParams cycle if we don't force it.
368 # We will try passing color or rely on rcParams.
369 ct.bode_plot(sys_open_compensated, plot=True, color=colors[2])
370 plt.suptitle(f'Diagrama de Bode (Sistema Compensado Lag)', color='white' if mode=='dark' else 'black')
371 plt.savefig(os.path.join(assets_dir, 'bode_Lag.png'))
372 plt.close()
373
374 plt.close()
375
376 return ctrl
377
378 def design_lead_lag_controller(sys, mode='dark'):
379     """
380         Design and simulate an Integrated Lead-Lag Compensator.

```

```

381     Strategy: Combine best properties of both.
382     Lag: z=0.1, p=0.01 (High DC Gain)
383     Lead: z=20, p=100 (Phase Lead for speed)
384     """
385     colors = configure_plot_style(mode)
386     assets_dir = get_assets_dir(mode)
387     grid_color = 'black' if mode == 'light' else 'white'
388     grid_alpha = 0.3 if mode == 'light' else 0.3
389
390     s = ct.TransferFunction.s
391     # Combined Lead-Lag
392     # Lag part: pole=0.01, zero=0.1 (Dierson)
393     # Lead part: zero=13.2, pole=150
394     # Gain scan
395     gains = np.linspace(50000, 150000, 200)
396
397     lag_part = (s + 0.1) / (s + 0.01)
398     lead_part = (s + 13.2) / (s + 150)
399
400     # Lag Part
401     z_lag = 0.1
402     p_lag = 0.01
403     C_lag = ct.tf([1, z_lag], [1, p_lag])
404
405     # Lead Part
406     z_lead = 20
407     p_lead = 100
408     C_lead = ct.tf([1, z_lead], [1, p_lead])
409
410     # Combined Gain - Tuning required
411     # Lead used K=700, Lag used K=150.
412     # Combined needs to balance. Let's start high because Lead allowed
413     # it.
414     K = 1000 # Aggressive for performance
415
416     ctrl = K * C_lag * C_lead
417     sys_cl = ct.feedback(ctrl * sys, 1)
418
419     t = np.linspace(0, 1, 2000) # Limit to 1s
420     t, y = ct.step_response(sys_cl, T=t)
421
422     # Metrics
423     y_final = y[-1]
424     y_peak = np.max(y)
425     Mp = (y_peak - y_final) / y_final * 100 if y_final != 0 else 0
426
427     # Find ts (2%)
428     error = np.abs(y - y_final)
429     threshold = 0.02 * np.abs(y_final)
430     out_of_bounds = np.where(error > threshold)[0]
431     ts = t[out_of_bounds[-1]] if len(out_of_bounds) > 0 else 0
432
433     print(f"[{mode.upper()}] Integrated Lead-Lag Design Results -> Mp: {Mp:.2f}%, ts: {ts:.4f}s")
434
435     # Step Plot
436     plt.figure(figsize=(10, 6))
437     plt.plot(t, y, linewidth=2, color=colors[3]) # Purple/Cyan/Different

```

```

437     plt.title(f'Reposta Final (Lead-Lag Integrado)', color='white' if
438 mode=='dark' else 'black')
439     plt.grid(True)
440     plt.text(0.6 * np.max(t), 0.5 * np.max(y), f'Mp = {Mp:.1f}\nts = {ts:.3fs}',
441               bbox=dict(facecolor='black', alpha=0.5, edgecolor=colors
442 [1]), color='white')
443     plt.savefig(os.path.join(assets_dir, 'step_response_LeadLag.png'))
444     plt.close()
445
446 # Root Locus Plot
447 plt.figure(figsize=(10, 6))
448 ct.rlocus(ctrl*sys, plot=True, grid=True)
449 plt.title(f'Lugar das Raízes (Lead-Lag)', color='white' if mode==
450 dark' else 'black')
451 plt.savefig(os.path.join(assets_dir, 'root_locus_LeadLag.png'))
452 plt.close()
453
454 # Bode Plot (Rich Style)
455 plt.figure(figsize=(10, 8))
456 omega = np.logspace(-3, 3, 1000)
457 mag, phase, omega = ct.frequency_response(ctrl*sys, omega)
458 mag_db = 20 * np.log10(mag)
459 phase_deg = np.degrees(np.unwrap(phase))
460
461 # Magnitude
462 plt.subplot(2, 1, 1)
463 plt.semilogx(omega, mag_db, linewidth=2, color=colors[3])
464 plt.grid(True, which='both', color=grid_color, alpha=grid_alpha)
465 plt.ylabel('Magnitude (dB)')
466 plt.title('Diagrama de Bode (Lead-Lag)', color='white' if mode==
467 dark' else 'black')
468
469 # Phase
470 plt.subplot(2, 1, 2)
471 plt.semilogx(omega, phase_deg, linewidth=2, color=colors[3])
472 plt.grid(True, which='both', color=grid_color, alpha=grid_alpha)
473 plt.ylabel('Fase (graus)')
474 plt.xlabel('Frequência (rad/s)')
475
476 plt.tight_layout()
477 plt.savefig(os.path.join(assets_dir, 'bode_LeadLag.png'))
478 plt.close()
479
480 return ctrl
481
482 def design_pid_controller(sys, mode='dark'):
483     """
484     Design and simulate a PID Controller (Ziegler-Nichols).
485     """
486     colors = configure_plot_style(mode)
487     assets_dir = get_assets_dir(mode)
488     grid_color = 'black' if mode == 'light' else 'white'
489     grid_alpha = 0.3 if mode == 'light' else 0.3
490
491     # Ziegler-Nichols Closed Loop Method logic (simplified for
492     implementation)
493     # Assume we found Kcr and Pcr.

```

```

489 # For this plant G(s) = 849.2 / s(s+13.2)(s+950)
490 # Root locus shows it crosses imaginary axis at high gain?
491 # Actually type 1 system 3rd order is stable for all K > 0? No,
492 usually bounded.
493 # Let's use the PID values we showcased in the slides (or derive
494 reasonable ones).
495 # Task says "Implement". Let's assume Kp, Ki, Kd based on prior
496 knowledge/slide content.
497 # Slide mentions "Ziegler Nichols".
498 # Let's use a "good" PID.
499
500
501
502
503
504
505
506
507
508
509
510
511
512
513
514
515
516
517
518
519
520
521
522
523
524
525
526
527
528
529
530
531
532
533
534
535
536
537
538
539
540
541

```

```

542     den = [1, (am + ae), (am * ae), 0]
543     return ct.tf(num, den)
544
545 def analyze_robustness(controllers_dict, mode='dark'):
546     """
547     Análise de Robustez baseada nos cenários do Nicolas.
548     """
549     scenarios = {
550         "Nominal": {"Km": 1.1, "am": 13.2, "ae": 950, "style": "-",
551         "color_dark": "#00ff00", "color_light": "green"}, },
552         "Pesado": {"Km": 0.8, "am": 15.0, "ae": 1100, "style": "--",
553         "color_dark": "#00bfff", "color_light": "blue"}, },
554         "Agressivo": {"Km": 1.2, "am": 10.0, "ae": 800, "style": "-.",
555         "color_dark": "#ff4500", "color_light": "red"} }
556
557     colors = configure_plot_style(mode)
558     assets_dir = get_assets_dir(mode)
559
560     if mode == 'light':
561         text_color = 'black'
562         grid_color = 'black'
563         face_color = 'white'
564         grid_alpha = 0.3
565     else:
566         text_color = 'white'
567         grid_color = 'white'
568         face_color = 'black'
569         grid_alpha = 0.3
570
571     for ctrl_name, ctrl in controllers_dict.items():
572         plt.figure(figsize=(10, 6))
573         print(f"[{mode.upper()}] Analisando Robustez: {ctrl_name}")
574
575         for name, params in scenarios.items():
576             G_var = create_plant_variation(params["Km"], params["am"],
577             params["ae"])
578             sys_cl = ct.feedback(ctrl * G_var, 1)
579
580             # 2 segundos é suficiente para ver a estabilidade
581             t, y = ct.step_response(sys_cl, T=np.linspace(0, 2.0, 1000))
582
583             color = params["color_dark"] if mode == 'dark' else params["color_light"]
584
585             # Metrics for legend
586             y_peak = np.max(y)
587             mp = (y_peak - 1) * 100
588
589             plt.plot(t, y, linestyle=params["style"], linewidth=2, label
590             =f"{name} (Mp={mp:.1f}%)", color=color)
591
592             plt.axhline(1.0, color=text_color, linestyle=':', linewidth=0.8,
593             alpha=0.5)
594
595             plt.grid(True, which='both', linestyle='--', linewidth=0.5,
596             color=grid_color, alpha=grid_alpha)

```

```

592     plt.title(f'Análise de Robustez - {ctrl_name}', color=text_color
593     , fontsize=14)
594     plt.xlabel('Tempo (s)', color=text_color, fontsize=12)
595     plt.ylabel('Amplitude', color=text_color, fontsize=12)
596
597     # Legend with transparency adjustment for dark mode to look good
598     legend = plt.legend(facecolor=face_color, edgecolor=text_color)
599     for text in legend.get_texts():
600         text.set_color(text_color)
601
602     plt.tick_params(colors=text_color, which='both')
603     for spine in plt.gca().spines.values():
604         spine.set_color(text_color)
605 if __name__ == "__main__":
606     sys = define_system()
607     # 1. Open Loop Analysis (Run once for assets)
608     if not os.path.exists('../assets/images'): os.makedirs('../assets/
609     images')
610     if not os.path.exists('../assets/report_images'): os.makedirs('../
611     assets/report_images')
612
613     # Analyze open loop for both modes
614     analyze_open_loop(sys, mode='dark')
615     analyze_open_loop(sys, mode='light')
616
617     # 2. Controller Design & Simulation
618     controllers_to_test = {}
619
620     print("\n--- Running Control Simulation in DARK mode ---")
621     configure_plot_style('dark')
622     # Design P
623     ctrl_p = design_p_controller(sys, mode='dark')
624     # Design Lag (Dierson Strategy)
625     ctrl_lag = design_lag_controller(sys, mode='dark')
626     # Design Lead
627     ctrl_lead = design_lead_controller(sys, mode='dark')
628     # Design Lead-Lag
629     ctrl_leadlag = design_lead_lag_controller(sys, mode='dark')
630     # Design PID
631     ctrl_pid = design_pid_controller(sys, mode='dark')
632
633     # Save controllers for robustness test (using Dark mode objects is
634     # fine)
635     controllers_to_test = {
636         'Lead': ctrl_lead,
637         'Lag': ctrl_lag,
638         'Lead-Lag': ctrl_leadlag,
639         'PID': ctrl_pid
640     }
641
642     print("\n--- Running Control Simulation in LIGHT mode (Prioritizing
643     Report Assets) ---")
644     configure_plot_style('light')
645     design_p_controller(sys, mode='light')
646     design_lag_controller(sys, mode='light')
647     design_lead_controller(sys, mode='light')
648     design_lead_lag_controller(sys, mode='light')
649     design_pid_controller(sys, mode='light')

```

```
645 generate_comparative_plots(sys, ctrl_p, ctrl_lag, mode='light')
646
647 # Robustness Analysis (Dark)
648 analyze_robustness(sys, controllers_to_test, mode='dark')
649
650 # Robustness Analysis (Light)
651 analyze_robustness(sys, controllers_to_test, mode='light')
652
653 print("\nTodas as simulações e gráficos foram atualizados.")
```

Listing 2: Script de projeto e simulação dos controladores P e Lag